

ЛИТЕРАТУРА

1. Ciepluch C. C. Effect of rapid pressure decay on solid propellant combustion // ARS J.—1961.—31.—P. 1584—1586.
2. Маршаков В. Н., Лейпунский О. И. К вопросу о механизме горения пороха при спаде давления // ФГВ.—1969.—5, № 1.—С. 3—7.
3. Земских В. И., Истратов А. Г., Лейпунский О. И. и др. Три характерных режима горения баллиститных порохов при спаде давления // ФГВ.—1977.—13, № 1.—С. 14—19.
4. Tobioka K. The experimental study on the spontaneous reingnition phenomena of solid propellant rocket motor // Intern. X Symp. on Space Techn. and Sci.—Tokyo, 1973.—P. 73—82.
5. Hanzawa M. Extinction transients of solid propellant induced by rapid pressure decay // Ibid.—P. 115—122.
6. Hanzawa M. Theoretical study on depressurization induced extinction of solid propellant // AIAA Pap. 1976, N 76—635.—P. 10.
7. Маршаков В. Н., Лейпунский О. И. Горение и потухание пороха при быстром спаде давления // ФГВ.—1967.—3, № 2.—С. 231—235.
8. Фрост В. А., Юмашев В. Л. Исследование погасания пороха в модели горения с переменной температурой поверхности // ПМТФ.—1973.—№ 2.—С. 92—100.
9. Лидский Б. В., Новожилов Б. В., Попов А. Г. Нестационарное горение твердого топлива вблизи границы погасания при спаде давления // Хим. физика.—1985.—4, № 5.—С. 721—727.
10. Donde R., Riva G., DeLuca L. Experimental and theoretical extinction of solid rocket propellants by fast depressurization // Acta Astronautica.—1984.—11, N 9.—P. 569—576.
11. Ассовский И. Г., Истратов А. Г., Лейпунский О. И. О самовоспламенении конденсированного топлива // Докл. АН СССР.—1978.—239, № 3.—С. 625—628.
12. Земских В. И., Лейпунский О. И. Повторное воспламенение конденсированных реагирующих веществ // ФГВ.—1987.—23, № 2.—С. 3—10.
13. Маршаков В. Н. Параметры очагово-пульсирующего режима горения нитроглицеринового пороха // Хим. физика.—1987.—6, № 4.—С. 530—537.
14. Синаев К. И. Очагово-пульсирующее горение нитроцеллюлозных порохов // I Всесоюз. симп. по горению и взрыву: Тез. докл.—М.: Наука, 1968.—С. 59—63.
15. Земских В. И., Лейпунский О. И., Маршаков В. Н. Горение и потухание порохового канала при спаде давления // IV Всесоюз. симп. по горению и взрыву: Сб. Горение и взрыв.—М.: Наука, 1977.—С. 273—277.

г. Москва

Поступила в редакцию 13/IV 1990

УДК 541.126.4

В. И. Устимов, Ю. В. Бунаков, А. Н. Урюпин

ОЦЕНКА ВРЕМЕНИ ЗАДЕРЖКИ САМОВОСПЛАМЕНЕНИЯ СМЕСЕЙ $H_2 + O_2 + HBr$

Исследуется горение смеси $H_2 + O_2 + HBr$ при постоянной плотности (объеме). При временах, меньших времени задержки самовоспламенения τ_z , рассматриваются приближенные методы решения системы кинетических уравнений. Приведены редуцированные детальные кинетические механизмы. При $p \leq 4 \cdot 10^4$ Па получена оценка τ_z в линейном приближении, при $p \geq 4 \cdot 10^5$ Па показана справедливость линейных соотношений между концентрациями различных компонентов горючей смеси.

Время задержки самовоспламенения τ_z — важнейший параметр процесса горения, в частности, его величина характеризует протекание предвзрывных процессов в системе. Как правило, при времени $t < \tau_z$ превалирует цепной механизм развития реакции [1]. Величина τ_z может служить мерой эффективности как ингибиторов, так и катализаторов горения [2].

Как экспериментальное определение, так и численные расчеты значений τ_z связаны со значительными трудностями. Так, при математическом моделировании горения возникает необходимость интегрирования системы жестких нелинейных дифференциальных уравнений — совокупности кинетических уравнений, дополненной уравнениями сохранения энергии, импульса и момента импульса. Число кинетических уравнений

равно числу видов молекул и радикалов, образующихся в процессе горения. Даже для самых простых углеводородных топлив число таких промежуточных компонентов может достигать нескольких десятков. Все это приводит к тому, что численные расчеты горения даже относительно простых горючих смесей требуют использования самых современных ЭВМ. Поэтому в настоящее время актуально получение простых аналитических оценок параметров горения, в частности важнейшего из них — τ_s .

В данной работе рассматривается горение смеси $H_2 + O_2 + HBr$ при постоянной плотности (объеме). Такая задача может в определенном смысле рассматриваться как эталонная. Атомарный водород выделяется при горении любого углеводородного топлива, поэтому горение водородно-кислородной смеси в значительной степени будет определять горение водородоподобных топлив [3]. Бромистый водород — продукт термического разложения большинства современных огнетушащих составов, оказывающих ингибирующее воздействие на процесс горения [4].

Цель настоящей работы — рассмотрение при $t < \tau_s$ приближенных методов решения системы кинетических уравнений, получение на их основе простых аналитических выражений для τ_s .

Окислительно-восстановительная реакция, лежащая в основе процесса горения, как правило, протекает в несколько стадий. Совокупность соответствующих элементарных химических реакций образует детальный кинетический механизм (ДКМ). В работе рассматривался ДКМ, близкий к приведенному в [2] и включающий в себя 31 элементарную обратимую реакцию между 11 частицами (H , O , H_2 , O_2 , OH , H_2O , HO_2 , H_2O_2 , Br , Br_2 , HBr) (табл. 1).

Зависимость констант скорости элементарных реакций от температуры T представлялась в виде

$$\alpha_i(T) = A_i T^{b_i} \exp(-\Delta E_i/(RT)). \quad (1)$$

При выборе численных значений A_i , b_i , ΔE_i предпочтение отдавалось данным, приведенным в [5], в случае отсутствия последних использовались значения констант из [3, 6]. Рассматриваемый ДКМ не учитывает гетерогенный обрыв цепей на стенках реакционного сосуда, однако позволяет хорошо воспроизводить экспериментальные данные в тех случаях, когда роль гетерогенных процессов невелика [7].

В предположении, что теплообмен между реакционным объемом и окружающей средой отсутствует, воспламенение и горение предварительно перемешанной горючей смеси при постоянной плотности описываются системой нелинейных дифференциальных уравнений первого порядка, являющихся следствием закона сохранения массы и энергии [5]:

$$\frac{dX_i}{dt} = \sum_j v_{ij}, \quad (2)$$

$$\frac{dT}{dt} = \frac{\sum_{ij} v_{ij} (RT - h_i)}{\sum_i X_i c_{Vi}}, \quad (3)$$

где X_i — молярная концентрация i -го компонента; v_{ij} — вклад j -й элементарной химической реакции в изменение скорости i -го компонента; c_{Vi} и h_i — молярные теплоемкость при постоянном объеме и энтальпия; $R = 8,314$ Дж/(моль · К).

В реакционном объеме предполагалось наличие инертного газа — разбавителя М. Рассматривались как богатые ($X_{H_2}^0 : X_{O_2}^0 : X_M^0 = 18,3 : 5,5 : 20,74$)¹, так и бедные ($X_{H_2}^0 : X_{O_2}^0 : X_M^0 = 3,75 : 20,32 : 20,74$) горючие сме-

¹ Индекс нуль указывает на то, что молярные концентрации относятся к начальному моменту времени.

Таблица 1

Механизмы горения (n — порядок реакции, запись вида 1,0 (5) означает $1,0 \times 10^5$)

Номер реакции	Реакция	Прямая реакция				Обратная реакция			
		$A_i, \left(\frac{M^*}{моль} \right)^{n-1} c^{-1}$	b_i	$\Delta E_i, \frac{кДж}{моль}$	Ссылка	$\tilde{A}_i, \left(\frac{M^*}{моль} \right)^{n-1} c^{-1}$	\tilde{b}_i	$\Delta \tilde{E}_i, \frac{кДж}{моль}$	Ссылка
1	2	3	4	5	6	7	8	9	10
1	$OH + H_2 \rightleftharpoons H_2O + H$	1,0(2)	1,60	13,8	5	4,6(2)	1,60	77,7	5
2	$H + O_2 \rightleftharpoons OH + O$	1,2(11)	-0,94	69,4	5	1,8(7)	0	0	5
3	$O + H_2 \rightleftharpoons OH + H$	1,5(1)	2,00	34,6	5	1,1(7)	0	33,4	3
4	$H + O_2 + M \rightleftharpoons HO_2 + M$	7,0(5)	-0,80	0	5	3,0(9)	0	200	3
5	$H + HO_2 \rightleftharpoons OH + OH$	1,5(8)	0	4,2	5	2,8(7)	0	171	3
6	$OH + OH \rightleftharpoons H_2O + O$	1,5(3)	1,14	0	5	1,5(4)	1,14	72,2	3
7	$H + H + M \rightleftharpoons H_2 + M$	6,4(5)	-1,00	0	5	2,2(8)	0	402	5
8	$O + O + M \rightleftharpoons O_2 + M$	1,0(5)	-1,00	0	5	1,2(8)	0	451	5
9	$H + HO_2 \rightleftharpoons H_2 + O_2$	2,5(7)	0	2,9	5	4,9(7)	0	238	5
10	$H + H_2O_2 \rightleftharpoons H_2 + HO_2$	1,7(6)	0	15,7	5	7,3(5)	0	78,4	5
11	$HO_2 + H_2 \rightleftharpoons H_2O + OH$	1,6(8)	0	119	3	1,1(8)	0	344	5
12	$OH + OH + M \rightleftharpoons H_2O_3 + M$	1,3(10)	-2,00	0	5	1,2(11)	0	190	5
13	$OH + H_2O_2 \rightleftharpoons H_2O + HO_2$	7,0(6)	0	6,0	5	1,3(7)	0	140	3
14	$H + H_2O_2 \rightleftharpoons H_2O + OH$	1,0(7)	0	15,0	5	1,2(8)	0	333	3
15	$OH + OH \rightleftharpoons H_2 + O_2$	8,1(4)	0	87,9	3	2,5(6)	0	163	3
16	$HO_2 + HO_2 \rightleftharpoons H_2O_2 + O_2$	2,0(6)	0	0	5	1,3(8)	0	167	3
17	$H + HO_2 \rightleftharpoons H_2O + O$	6,0(5)	0	0	6	5,3(5)	0	228	6
18	$OH + HO_2 \rightleftharpoons H_2O + O_2$	2,0(7)	0	0	5	2,2(8)	0	300	6
19	$H + OH + M \rightleftharpoons H_2O + M$	1,4(11)	-2,00	0	5	1,6(11)	0	478	5
20	$O + H + M \rightleftharpoons OH + M$	1,4(4)	0	0	6	3,1(10)	0	435	6
21	$O + HO_2 \rightleftharpoons O_2 + OH$	2,0(7)	0	0	5	9,4(7)	0	226	6
22	$O + H_2O_2 \rightleftharpoons H_2O + O_2$	1,4(7)	0	26,8	3	5,1(7)	0	389	6
23	$O + H_2O_2 \rightleftharpoons HO_2 + OH$	2,8(7)	0	26,8	5	2,4(6)	0	88,7	3
24	$H + HBr \rightleftharpoons H_2 + Br$	6,2(7)	0	10,3	5	1,8(8)	0	80,8	3
25	$OH + HBr \rightleftharpoons H_2O + Br$	1,0(7)	0	0	5	1,3(8)	0	133	5

	15	15	5	5	5	5	5
	62,3						
		167					
			1,4				
				187			
					366,1		
						20,2	
	0	0	0	0	0	0	0
	1,3(7)						
		1,7(7)					
			2,8(8)				
				8,2(9)			
					5,1(9)		
						1,3(6)	
	5	5	5	5	5	5	5
	0	0	0	0	0	0	0
	181						
	20,9						
	1,0(7)						
		1,0(7)					
			1,3(8)				
				3,6(3)			
					3,6(3)		
						1,0(7)	
	O + HBr ⇌ OH + Br						
	Br + HO ₂ ⇌ HBr + O ₂						
	Br + HBr ⇌ Br ₂ + H						
	Br + Br + M ⇌ Br ₂ + M						
	Br [·] + H + M ⇌ HBr + M						
	Br + H ₂ O ₂ ⇌ HBr + HO ₂						
26							
27							
28							
29							
30							
31							

си, предварительно нагретые до $T = 973$ К. Относительная концентрация HBr $\eta = X_{\text{HBr}}^0 / (X_{\text{H}_2}^0 + X_{\text{O}_2}^0)$ изменялась от 0,00 до 0,02. Начальное давление в реакционном объеме $p = 3,6 \cdot 10^2 \div 3,6 \cdot 10^8$ Па.

Численное интегрирование системы дифференциальных уравнений (2)–(3) выполнялось по алгоритмам, приведенным в [8, 9]. Использовались два независимых многошаговых неявных численных метода, специально предназначенные для интегрирования «жестких» систем дифференциальных уравнений.

В результате интегрирования системы (2), (3) получены зависимости от времени молярных концентраций X_i и температуры в реакционном объеме. Время задержки самовоспламенения определялось как время, соответствующее образованию в реакционном объеме H₂O в количестве 5 % от максимально возможного. Вода — конечный продукт окисления H₂ и, следовательно, именно скорость образования H₂O является характеристикой скорости развития процесса горения.

Аналитическая оценка величины τ_3 может быть получена в результате приближенного решения системы (2), (3). По результатам численных расчетов для $t < \tau_3$ определены основные цепные носители в реакционном объеме и относительные вклады k -й элементарной реакции в скорость изменения молекулярной концентрации i -го компонента $\xi_{ik} = v_{ik} / (dX_i / dt)$. В результате анализа величин ξ_{ik} проведена редукция ДКМ. Вычисленные с редуцированным ДКМ величины dX_i / dt основных компонентов при $t < \tau_3$ отличались от значений тех же величин, найденных с «полным» ДКМ, не более чем на 10 %. Результаты редукции, как и следовало ожидать, зависят от начального давления в реакционном объеме.

При $10^2 \leq p \leq 4 \cdot 10^4$ Па основными цепными носителями являются атомы H, O, Br и радикалы OH. Редуцированный ДКМ в этой области давления имеет вид

1. OH + H₂ → H₂O + H,
 2. H + O₂ → OH + O,
 3. O + H₂ → OH + H,
 24. H + HBr ⇌ H₂ + Br,
 25. OH + HBr → H₂O + Br,
 26. O + HBr → OH + Br.
- (4)

При $4 \cdot 10^4 \leq p \leq 4 \cdot 10^8$ Па к цепным носителям H, O, OH и Br добавляются HO₂ и существенная при высоких давлениях перекись водорода H₂O₂. Редуцированный ДКМ при этих давлениях имеет вид

1. OH + H₂ → H₂O + H,
2. H + O₂ → OH + O,

3. $O + H_2 \rightarrow OH + H$,
 4. $H + O_2 + M \rightarrow HO_2 + M$,
 10. $H + H_2O_2 \leftarrow H_2 + HO_2$,
 11. $HO_2 + H_2 \rightarrow H_2O + OH$,
 12. $OH + OH + M \leftarrow H_2O_2 + M$,
 15. $OH + OH \leftarrow H_2 + O_2$,
 16. $HO_2 + HO_2 \rightarrow H_2O_2 + O_2$,
 24. $H + HBr \rightleftharpoons H_2 + Br$,
 25. $OH + HBr \rightarrow H_2O + Br$,
 26. $O + HBr \rightarrow OH + Br$,
 27. $Br + HO_2 \rightarrow HBr + O_2$,
 29. $Br + Br + M \rightarrow Br_2 + M$,
 31. $Br + H_2O_2 \leftarrow HO_2 + HBr$.
- (5)

В следствие существенного различия элементарных процессов, протекающих в системе при низком и высоком давлении, характер дальнейших упрощений системы (2), (3) зависит от величины p .

Случай низких давлений $10^2 \leq p \leq 4 \cdot 10^4$ Па. Примем во внимание, что при $t < \tau_s$ температуру в реакционном объеме, а также молярные концентрации исходных компонентов можно считать постоянными: $X_{H_2} = X_{H_2}^0$, $X_{O_2} = X_{O_2}^0$, $X_{HBr} = X_{HBr}^0$. В силу относительной малости концентраций вновь образованных компонентов O , OH , H , Br пренебрежем квадратичными членами по цепным носителям в (2). Тогда вместо системы нелинейных дифференциальных уравнений (2), (3) получим для X_H , X_O , X_{OH} , X_{Br} систему линейных дифференциальных уравнений с постоянными коэффициентами, явным образом выражаяющимися через X_M , $X_{H_2}^0$, $X_{O_2}^0$, X_{HBr}^0 и константы скоростей прямых α_i и обратных $\tilde{\alpha}_i$ элементарных реакций.

Решение указанной системы

$$\begin{pmatrix} X_H \\ X_O \\ X_{OH} \\ X_{Br} \end{pmatrix} = \sum_{i=1} C_i \begin{pmatrix} 1 \\ (X_O/X_H)_i \\ (X_{OH}/X_H)_i \\ (X_{Br}/X_H)_i \end{pmatrix} \exp(\omega_i t), \quad (6)$$

где ω_i — корни характеристического уравнения

$$\omega^4 + p\omega^3 + q\omega^2 + t\omega + s = 0. \quad (7)$$

Здесь

$$\begin{aligned} p &= a_1 + a_2 + a_3 + a_4, \\ q &= a_1a_2 + a_1a_3 + a_2a_3 + a_4(a_1 + a_3 + b_2) - b_2(b_1 + b_3), \\ t &= a_1(a_2a_3 - b_2b_3) + a_3(a_1a_4 - 2b_1b_2), \\ (X_O/X_H)_i &= b_2/(a_3 + \omega_i), \quad s = -2a_1a_3a_4b_2, \\ (X_{OH}/X_H)_i &= b_2(2a_3 + \omega_i)/((a_1 + \omega_i)(a_3 + \omega_i)), \\ (X_{Br}/X_H)_i &= ((a_2 - b_2)(a_1 + \omega_i)(a_3 + \omega_i) + b_2(a_3 - b_3)(a_1 + \omega_i) + \\ &\quad + b_2(a_1 - b_1)(2a_3 + \omega_i))/((a_1 + \omega_i)(a_3 + \omega_i)(a_4 + \omega_i)), \\ a_1 &= \alpha_1 X_{H_2}^0 + \alpha_{25} X_{HBr}^0, \quad a_2 = \alpha_2 X_{O_2}^0 + \alpha_{24} X_{HBr}^0, \\ a_3 &= \alpha_3 X_{H_2}^0 + \alpha_{26} X_{HBr}^0, \quad a_4 = \tilde{\alpha}_{24} X_{H_2}^0, \quad b_1 = \alpha_1 X_{H_2}^0, \\ b_2 &= \alpha_2 X_{O_2}^0, \quad b_3 = \alpha_3 X_{H_2}^0, \quad b_4 = \alpha_4 X_M X_{O_2}^0. \end{aligned}$$

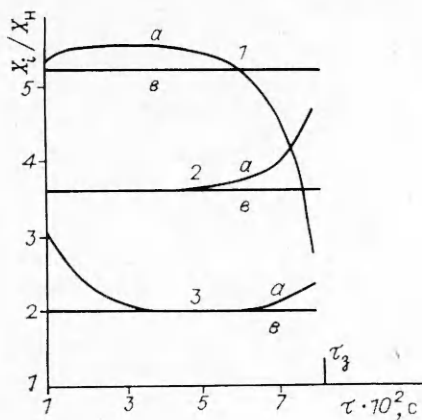


Рис. 1. Зависимость X_i/X_H от времени для бедных горючих смесей при $p = 3,6 \times 10^3$ Па и $\eta = 2 \cdot 10^{-2}$.

α — результат решения системы нелинейных дифференциальных уравнений (2), (3); δ — в линейном приближении (6). 1 — $(X_{\text{Br}}/X_H) \cdot 0,02$; 2 — $(X_O/X_H) \cdot 20$; 3 — $(X_{\text{OH}}/X_H) \cdot 10$.

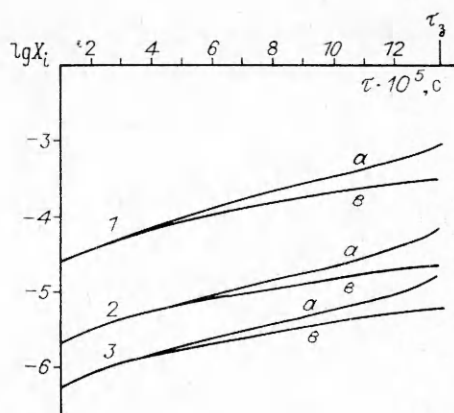


Рис. 2. Зависимость $\lg(X_i)$ от времени для бедных горючих смесей при $p = 3,6 \cdot 10^7$ Па и $\eta = 4 \cdot 10^{-4}$.

α — результат решения системы нелинейных дифференциальных уравнений (2), (3); δ — в адиабатическом приближении. 1 — $\lg(X_{\text{OH}})$; 2 — $\lg(5X_O)$; 3 — $\lg(X_H)$.

Дифференциальное уравнение для определения X_{H_2O} имеет вид

$$\frac{dX_{H_2O}}{dt} = a_1 X_{\text{OH}}. \quad (8)$$

В соответствии с нашим определением времени задержки самовоспламенения из (8) получим простую оценку:

$$\tau_3 = \frac{1}{\omega} \ln \left[\frac{0,05 (X_{H_2O})_{\max}}{(X_{H_2O})_0} (\exp(\omega t_0) - 1) + 1 \right], \quad (9)$$

где $(X_{H_2O})_{\max}$ — максимальная концентрация H_2O в реакционном объеме; $(X_{H_2O})_0$ — концентрация H_2O в момент времени t_0 ; ω — максимальный положительный корень характеристического уравнения.

Для $t_0 \gg 1/\omega$ выражение (9) можно еще более упростить

$$\tau_3 = t_0 + \frac{1}{\omega} \ln [0,05 (X_{H_2O})_{\max}/(X_{H_2O})_0]. \quad (10)$$

Формулы (9), (10) представляют собой оценки времени задержки самовоспламенения при $p \leq 4 \cdot 10^4$ Па. Параметр ω может быть найден либо в результате решения характеристического уравнения (7), либо рассматриваться как подгоночный параметр и определяться из имеющегося набора экспериментальных данных.

В качестве примера вычислены величины τ_3 как из решения системы (2), (3), так и по формуле (10). Также в линейном приближении (6) рассчитаны зависимости от времени отношений молярных концентраций цепных носителей. Анализ результатов показывает (табл. 2, рис. 1), что значения соответствующих величин отличаются в случае бедных горючих смесей не более чем на 25 %, а в случае богатых — не более чем на 10 %.

Случай высоких давлений $4 \cdot 10^5 \leq p \leq 4 \cdot 10^8$ Па. При высоких значениях p , как и в случае низких, можно при $t < \tau_3$ считать температуру в реакционном объеме постоянной и положить $X_{H_2} = X_{H_2}^0$, $X_{O_2} = X_{O_2}^0$, $X_{\text{Br}} = X_{\text{Br}}^0$. Однако пренебрежение квадратичными членами по цепным носителям в системе (2) оказывается некорректным. Задача по-прежнему остается существенно нелинейной.

Таблица 2

Зависимость времени задержки самовоспламенения τ_3 от начального давления p и относительной концентрации бромистого водорода η (а — результат решения системы нелинейных дифференциальных уравнений (2), (3), б — оценка в линейном приближении)

p , Па	η	τ_3 , с			
		бедные смеси		богатые смеси	
		а	б	а	б
3,6(2)	4,0(-4)	1,9(-2)	2,4(-2)	3,6(-2)	3,4(-2)
	2,0(-3)	3,5(-2)	4,4(-2)	8,3(-2)	8,0(-2)
	4,0(-3)	0,115	0,139	1,6(-1)	1,6(-1)
	2,0(-2)	1,02	1,03	8,1(-1)	8,1(-1)
3,6(3)	4,0(-4)	1,9(-3)	2,4(-3)	3,7(-3)	3,4(-3)
	2,0(-3)	3,6(-3)	4,5(-3)	8,3(-3)	8,1(-3)
	4,0(-3)	1,2(-2)	1,3(-2)	1,6(-2)	1,6(-2)
	2,0(-2)	1,0(-1)	1,0(-1)	8,2(-2)	8,2(-2)
3,6(4)	4,0(-4)	2,3(-4)	2,6(-4)	4,0(-4)	3,7(-4)
	2,0(-3)	4,8(-4)	4,9(-4)	9,4(-4)	9,1(-4)
	4,0(-3)	1,6(-3)	1,4(-3)	1,8(-3)	1,8(-3)
	2,0(-2)	1,3(-2)	1,1(-2)	9,4(-3)	9,3(-3)

Определенное упрощение системы кинетических уравнений (2) все же возможно и связано с тем, что при $t < \tau_3$ имеет место следующее соотношение между скоростями изменения концентраций компонентов:

$$\frac{dX_H}{dt}, \frac{dX_O}{dt}, \frac{dX_{OH}}{dt} \ll \frac{dX_{Br}}{dt}, \frac{dX_{H_2O}}{dt}, \frac{dX_{H_2O_2}}{dt}.$$

Следовательно, можно выделить медленную (H , O , OH) и быструю (Br , HO_2 , H_2O , H_2O_2) подсистемы. В таком адиабатическом приближении концентраций компонентов медленной подсистемы каждый момент времени определяется концентрациями компонентов быстрой подсистемы. Действительно, положив

$$\frac{dX_H}{dt} = \frac{dX_O}{dt} = \frac{dX_{OH}}{dt} = 0$$

и воспользовавшись редуцированным ДКМ (5), нетрудно получить
 $X_i = GL(i, 1)X_{Br} + GL(i, 2)X_{HO_2} + GL(i, 3)X_{H_2O_2} + GL(i, 4)$, $i = 1, 2, 3, 4$,

(11)

где $X_1 = X_H$; $X_2 = X_O$; $X_3 = X_{OH}$;

$$GL(1, 1) = a_1 a_3 \tilde{\alpha}_{24} X_{H_2}^0 / \Delta;$$

$$GL(1, 2) = a_3 (a_1 \tilde{\alpha}_{10} + b_1 \alpha_{11}) X_{H_2}^0 / \Delta;$$

$$GL(1, 3) = 2a_3 b_1 \tilde{\alpha}_{12} X_M / \Delta;$$

$$GL(1, 4) = 2a_3 b_1 \tilde{\alpha}_{15} X_{H_2}^0 X_{O_2}^0 / \Delta;$$

$$GL(2, j) = b_2 GL(1, j) / a_3, \quad j = 1, 2, 3, 4;$$

$$GL(3, 1) = 2a_3 b_2 \tilde{\alpha}_{24} X_{H_2}^0 / \Delta;$$

$$GL(3, 2) = [2a_3 b_2 \tilde{\alpha}_{10} + (a_3 (a_2 + b_4) + b_2 b_3) \alpha_{11}] X_{H_2}^0 / \Delta;$$

$$GL(3, 3) = 2 [a_3 (a_2 + b_4) + b_2 b_3] \tilde{\alpha}_{12} X_M / \Delta;$$

$$GL(3, 4) = 2 [a_3 (a_2 + b_4) + b_2 b_3] \tilde{\alpha}_{15} X_{H_2}^0 \bar{X}_{O_2}^0 / \Delta;$$

$$\Delta = a_1 a_3 (a_2 + b_4) - b_2 (2a_3 b_1 + a_1 b_3).$$

О точности, с которой выполняются соотношения (11), можно судить из рис. 2, на котором приведены примеры зависимости от времени величин X_{H} , X_{O} , X_{On} , полученные как решения системы (2), (3), так и рассчитанные по формуле (11) по известным в каждый момент времени X_{Br} , X_{HO_2} , $X_{\text{H}_2\text{O}_2}$. Отличие значений концентраций X_{H} , X_{O} , X_{On} , вычисленных по (11), от «точных» увеличивается с ростом t и при $t \approx 0,6\tau_3$ не превосходит 25 %. Для X_{Br} , X_{HO_2} , $X_{\text{H}_2\text{O}_2}$ остается система нелинейных дифференциальных уравнений первого порядка с постоянными коэффициентами. Величина $X_{\text{H}_2\text{O}}$, как и в случае низких давлений, удовлетворяет уравнению (8).

В силу нелинейности задачи при высоких давлениях явное выражение для τ_3 получить трудно. Однако и в этом случае при $t < \tau_3$ система кинетических уравнений (2) существенно упрощается: число независимых нелинейных дифференциальных уравнений в системе (2) вследствие соотношений (11) уменьшается на три, сами уравнения при этом имеют постоянные коэффициенты.

Результаты, полученные в данной работе, сводятся к следующему.

При $t < \tau_3$, когда значительного повышения температуры в реакционном объеме не наблюдается, система кинетических уравнений (2) может быть существенно упрощена. Характер элементарных процессов, а следовательно и вид редуцированного ДКМ, зависит от начального давления горючей смеси. При $p < 4 \cdot 10^4$ Па результаты, близкие к точным, могут быть получены в линейном приближении. При $p \geq 4 \cdot 10^5$ Па справедливо адиабатическое приближение, и, хотя система кинетических уравнений остается нелинейной, число независимых уравнений в ней уменьшается на три.

При низких давлениях в линейном приближении величина τ_3 с достаточной степенью точности удовлетворяет соотношению (10), которое может быть использовано при оценке и анализе ингибитирующей (катализирующей) способности галогеноводородов.

ЛИТЕРАТУРА

- Соколик А. С. Самовоспламенение, пламя и детонация в газах.— М.: Изд-во АН СССР, 1960.
- Lovachev I. A., Gontkovskaya V. T., Ozerkovskaya N. I. // Comb. Sci and Techn.— 1977.— 17.— Р. 143.
- Кондратьев В. Н., Никитин Е. Е. Кинетика и механизмы газофазных реакций.— М.: Наука, 1974.
- Маловечко В. А., Сперанский А. А. // Профилактика и тушение пожаров на судах: Сб. науч. тр.— М.: ВНИИПО, 1988.
- Химия горения/Под ред. У. Гардинера, мл.— М.: Мир, 1988.
- Басевич В. Я. Успехи химии.— 1987.— 56, вып. 5.— С. 705.
- Гонтковская В. Т., Гордополова И. С., Озерковская П. И. Окисление водорода в неизотермических условиях // ФГВ.— 1988.— 24, № 1.— С. 53.
- Gear C. W. // Numerical Math.— 1971.— 14, N 3.— Р. 176.
- Gear C. W. // Ibid.— Р. 185.

г. Ленинград

Поступила в редакцию 20/III 1990,
после доработки — 6/VII 1990